

Колебания решетки в кристаллах CuInSe₂

© Н.Н. Сырбу, М. Богданаш, В.Е. Тезлеван*

Кишиневский технический университет,

277012 Кишинев, Молдавия

* Институт прикладной физики Молдавской академии наук,
277028 Кишинев, Молдавия

(Получена 26 октября 1995 г. Принята к печати 4 июня 1996 г.)

Исследованы спектры отражения в области инфракрасного излучения для кристаллов CuInSe₂ в поляризации $\mathbf{E} \parallel \mathbf{c}$ и $\mathbf{E} \perp \mathbf{c}$. Рассчитаны контуры спектров отражения, определены параметры фононов и диэлектрические константы. Рассчитаны эффективные заряды ионов Cu, In и Se в этих материалах. Исследованы двухфононные спектры поглощения кристаллов CuInSe₂ и идентифицированы обнаруженные полосы поглощения.

Соединение CuInSe₂ перспективно для использования в солнечной энергетике. Колебательные свойства кристаллов CuInSe₂ исследованы в ряде работ [1-9]. Однако результаты исследования спектров отражения в области инфракрасного (ИК) излучения и рамановского рассеяния не согласуются между собой. В ИК спектрах отражения и в рамановском рассеянии обнаружены не все колебательные моды. В работе [7] представлены результаты ИК спектров отражения для поляризаций $\mathbf{E} \parallel \mathbf{c}$ и $\mathbf{E} \perp \mathbf{c}$, в которых обнаружены 3 E-моды ($\mathbf{E} \perp \mathbf{c}$) вместо 6 ожидаемых. В исследованиях рамановского рассеяния при 300 и 100 К [9] наглядно обнаружена только A-мода, хотя авторы утверждают, что обнаружены все колебательные моды.

В данной работе исследованы ИК спектры отражения для кристаллов CuInSe₂ в поляризации $\mathbf{E} \parallel \mathbf{c}$ и $\mathbf{E} \perp \mathbf{c}$, в которых получены все ожидаемые колебательные моды и новая информация о параметрах фононов.

1. Методика эксперимента

Монокристаллы CuInSe₂ выращены методом Бриджмена в виде слитков диаметром 3 см и длиной 6 \div 7 см. Для исследований использовались пластины размерами 1.5 \times 2.5 см², вырезанные из слитков. Спектры отражения измерены на вакуумном спектрометре КСДИ-82, который управляет ЭВМ. Спектральная ширина щели равна 0.2 см⁻¹ в диапазоне 50 \div 250 см⁻¹ и 1 см⁻¹ в диапазоне 200 \div 4000 см⁻¹.

Контуры спектров отражения рассчитаны по многоосцилляторной модели дисперсионных соотношений:

$$\varepsilon(\omega) = \varepsilon_1 + i\varepsilon_2 = \varepsilon_\infty + \sum_{j=1}^N \frac{4\pi f_j \omega_{TOj}^2}{(\omega_{TOj}^2 - \omega^2 + i\omega\gamma_j)},$$

$$\varepsilon_0 = \varepsilon_\infty + \sum_{j=1}^N 4\pi f_j,$$

$$f_j = \varepsilon_\infty \frac{(\omega_{LOj}^2 - \omega_{TOj}^2)}{(4\pi\omega_{TOj}^2)} \prod_{i \neq j} \frac{(\omega_{LOi}^2 - \omega_{TOj}^2)}{(\omega_{TOi}^2 - \omega_{TOj}^2)},$$
$$\varepsilon_\infty = \left| \frac{1 - \sqrt{R}}{1 + \sqrt{R}} \right|^2,$$

где ε_∞ , ε_0 — высокочастотные и низкочастотные диэлектрические постоянные; ω_{LOj} , ω_{TOj} — продольные и поперечные частоты фононов; γ_j — фактор затухания; f_j — сила j -го осциллятора; R — коэффициент отражения в области 3000 \div 4000 см⁻¹.

2. Экспериментальные результаты

В спектрах отражения кристаллов CuInSe₂ в поляризации $\mathbf{E} \perp \mathbf{c}$ обнаружено 6 колебательных мод симметрии E (рис. 1, а; здесь $\nu = 1/\lambda$, λ — длина световой волны), т. е. столько мод, сколько ожидается из теоретико-группового анализа

$$\Gamma_{\text{opt}} = 1A_1 + 2A_2 + 3B_1 + 3B_2 + 6E.$$

Под действием макроскопического электрического поля, обусловленного продольными оптическими колебаниями, происходит расщепление каждого из полярных колебаний симметрии B_2 и E на продольные (LO) и поперечные (TO) моды. Полученные значения параметров LO - и TO -фононов и диэлектрические постоянные приведены в табл. 1. На рис. 1 точками указаны экспериментальные значения коэффициента отражения, а сплошная кривая соответствует расчетным значениям коэффициента отражения. Наибольшей силой осциллятора обладают моды E^1 и E^5 . Факторы затухания изменяются в пределах 4 \div 10. Спектры отражения, представленные на рис. 1, а, удовлетворительно согласуются с данными [7]. Мы предполагаем, что пик отражения E^1 , обнаруженный нами, и пики $E^1(E^2)$, выявленные в работе [7], обусловлены одной колебательной модой. Максимум отражения E^2 (174/162) соответствует в работе [7] пику отражения E^3 . В длинноволновой области (40 \div 120 см⁻¹) обнаружены невыявленные ранее колебательные моды E_4 — E_6 (рис. 1, а; табл. 1). Расчеты спектров отражения показывают, что контуры

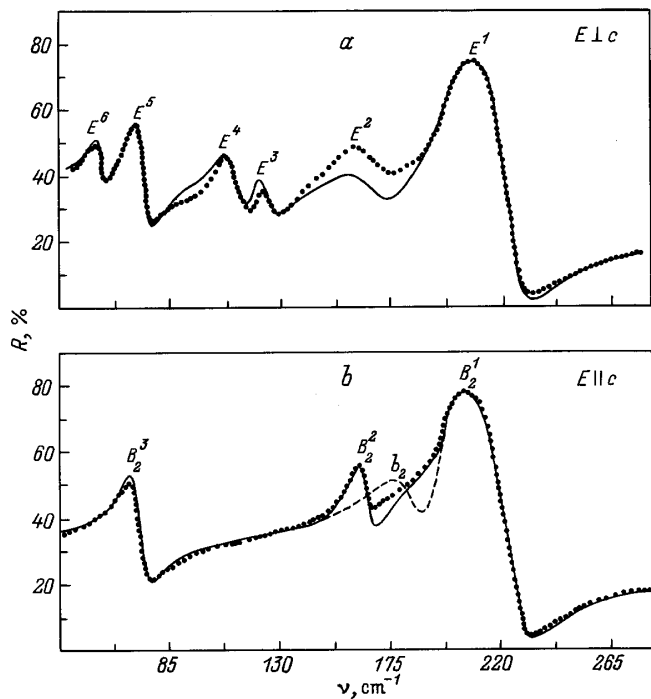


Рис. 1. Спектры отражения кристаллов CuInSe₂ в поляризации $\mathbf{E} \perp \mathbf{c}$ (a) $\mathbf{E} \parallel \mathbf{c}$ (b); сплошная линия — расчет, точки — эксперимент, штриховая линия — см. в тексте.

практически всех осцилляторов удовлетворительно описываются дисперсионными соотношениями.

В поляризации $\mathbf{E} \parallel \mathbf{c}$ обнаружены 3 ожидаемые колебательные моды симметрии B_2 (рис. 1, b, табл. 1). В этой поляризации наиболее интенсивной является высокочастотная мода B_2 . Обнаруженные моды согласуются с данными работ [6,7]. Замечено, что на образцах из различных технологических партий колебательная мода B_2 обнаруживается при различных частотах, как показано штриховой линией на рис. 1, b. По-видимому, некоторые образцы имеют нарушение стехиометрии (вакансии селена), которое влияет на эту колебательную моду. Параметры колебательных мод кристаллов CuInSe₂ сопоставлены с параметрами CuGaSe₂ и CuInS₂ (табл. 2). Как видно, отношения частот для CuGaSe₂ и CuInSe₂ меняются незначительно. При этом для всех колебательных мод симметрии E и B_2 , за исключением $B_2^{(2)}$ и E^2 , отношения частот изменяются в пределах 1.18 ÷ 1.28. Для E^2 и $B_2^{(2)}$ отношение частот составляет 1.09 ÷ 1.12. Эти данные обусловлены тем, что в кристаллах CuInSe₂ колебательные моды $B_2^{(2)}$ и E^2 обнаруживаются при более высоких частотах, чем они должны были бы быть согласно рис. 1, a и 1, b. Отношения частот колебательных мод CuInSe₂ и CuInS₂ изменяются в большей степени. Это кажется закономерным, так как при замене атомов Ga на In приведенная масса комплексов Ga—Se₂ и In—Se₂ изменится слабее, чем при замене анионов S на Se. Отношение масс ионов

In—Se (M_1) к массе ионов Ga—Se (M_2) равно 1.30. Отношение частот CuGaSe₂ и CuInSe₂, изменяющееся в интервале 1.09 ÷ 1.28, вполне удовлетворительно согласуется с квадратным корнем отношения масс ионов $(M_1/M_2)^{1/2} = 1.14$ (см. табл. 2). Отношения же частот для CuInS₂ и CuInSe₂ отличаются значительно, чем отношение $(M_1/M_3)^{1/2}$ для масс ионов In—Se (M_1) к массе ионов In—S (M_3) (табл. 2). В кристаллах CuInS₂ изменяются и межатомные расстояния, так как ионы серы имеют меньшие радиусы, чем ионы селена.

На рис. 2 проведено сопоставление частот колебательных мод E кристаллов CuInSe₂, CuGaSe₂ и CuAlSe₂ (данные для CuAlSe₂ и CuGaSe₂ взяты из работы [11]) в зависимости от приведенной массы μ ионов In(Ga, Al)—Se. Для кристаллов CuAlSe₂ высокочастотные колебательные моды E_i с $i = 1, 2, 3$ зависят от μ в большей степени, чем низкочастотные колебательные моды с $i = 4, 5, 6$. Сопоставляя частоты мод для кристаллов CuInSe₂ и CuGaSe₂, можно заметить также смещение всех частот колебаний CuGaSe₂ в область более высоких энергий. Это обусловлено тем, что происходит замена тяжелых ионов индия на легкий ион галлия. В кристаллах CuAlSe₂ вместо атома галлия находится более легкий атом алюминия. Увеличение частоты колебательных мод $i = 1, 2, 3$ при переходе от CuGaSe₂ к CuAlSe₂ (т.е. замена тяжелого иона Ga на легкий ион Al) подтверждает, что эти моды относятся к внутренним колебательным модам.

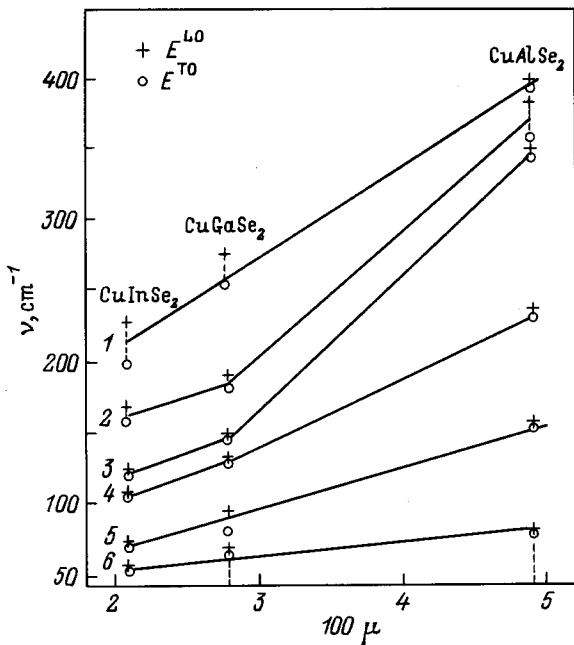


Рис. 2. Зависимость частот колебательных мод E_i ($i = 1, 2 \dots 6$) от приведенной массы ионов In—Se, Ga—Se и Al—Se в кристаллах CuInSe₂, CuGaSe₂ и CuAlSe₂. Цифры у кривых соответствуют номеру i моды E_i .

Таблица 1. Параметры мод B_2 и E в кристаллах CuInSe₂

Моды	Данные из работ				Результаты нашей работы			
	[6,7]*		[9]		ν_{LO} , см ⁻¹	ν_{TO} , см ⁻¹	γ	$4\pi f_1$
	частота моды ν , см ⁻¹ при температуре T , К							
	300	100	300	100				
$B_2^{(1)}$	232	214	233 \div 215	233–217	228.6	208.6	6.0	1.40
$B_2^{(2)}$	193	181	198	200–177	169	163	20	2.33
$B_2^{(3)}$	65	64	71–70	72–70	78.8	70.5	6.5	2.36
E^1	229	213	230–217	233–217	227.5	204	8.0	2.10
	212	207						
E^2	183	179	—	230–227	174	162	10	1.54
E^3			211	216–211	128.5	122	8.0	1.07
E^4			—	188–288	116	108	9.0	1.24
E^5			77–77	78–78	77.5	71.0	6.0	2.54
E^6			60–58	60–61	57.0	55.5	4.0	1.28

Примечание. * Данные получены в инфракрасной области спектра.

3. Двухфононное поглощение в кристаллах CuInSe₂

Двухфононные спектры поглощения для кристаллов CuInSe₂ проанализированы в работе [7]. Но поскольку в однофононной и в двухфононной областях мы получили новые данные о спектрах колебательных мод, здесь вновь обсуждаем двухфононное поглощение на основе наших результатов. Спектры поглощения (пропускания) в области 250 \div 500 см⁻¹ измерены на образцах толщиной 20 \div 30 мкм (рис. 3). В поляризациях $\mathbf{E} \parallel \mathbf{c}$ и $\mathbf{E} \perp \mathbf{c}$ обнаружено по 18 полос поглощения. Наши спектры в основном согласуются со спектрами поглощения работы [7]. Малая толщина кристаллов позволила нам провести измерения почти вплотную к однофононной области (~ 250 см⁻¹) и получить большее число полос поглощения, чем представлено в работе [7].

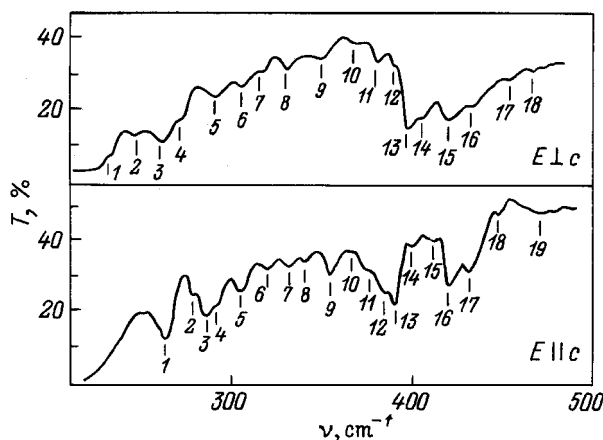


Рис. 3. Спектры двухфононного поглощения кристалла CuInSe₂.

В соответствии с правилами отбора в кристаллах CuInSe₂ в поляризации $\mathbf{E} \perp \mathbf{c}$ активны комбинации фононов $A_1 \otimes E$, $A_2 \otimes E$, $B_1 \otimes E$ и $B_2 \otimes E$, а в поляризации $\mathbf{E} \parallel \mathbf{c}$ — $A_1 \otimes B_2$, $A_2 \otimes B_1$ и $E \otimes E$. В табл. 3 и 4 представлены частоты обнаруженных нами линий поглощения, результаты работы [7], а также расчетные величины частот комбинаций двух фононов, ответственных за эти полосы поглощения. Практически все выявленные двухфононные полосы описываются комбинацией LO или TO колебательных мод соответствующей симметрии, разрешенных правилами отбора. Разница между экспериментально выявленными и расчетными полосами не превышает несколько обратных сантиметров. В поляризации $\mathbf{E} \parallel \mathbf{c}$ все обнаруженные полосы описываются комбинацией мод $E \otimes E$, за исключением полос 12 и 17. Полоса 17 (выявлена и в работе [7]) описывается комбинацией $A_2^{(2)} \otimes B_1^{(1)}$.

4. Эффективные ионные заряды и их анизотропия

Параметры эффективных ионных зарядов кристаллов CuInSe₂, CuGaSe₂ и CuAlSe₂ определены из следующих соотношений:

$$4\pi c^2 \sum_{j=1}^N (\omega_{LOj}^2 - \omega_{TOj}^2) = \frac{4\pi e^2 N}{V} \left| \frac{(Z_a e^*) n_a}{m_a} + \frac{(Z_b e^*) n_b}{m_b} + \frac{(Z_c e^*) n_c}{m_c} \right|, \\ n_a Z_a e + n_b Z_b e - n_c Z_c e = 0,$$

где V — объем элементарной ячейки; N — число атомов в элементарной ячейке; n_a , n_b и n_c — стехиометрические коэффициенты; m_a , m_b и m_c — атомные массы элементов кристалла.

Таблица 2. Частоты активных колебательных мод в инфракрасной области спектра и их отношения в кристаллах CuGaSe₂, CuInSe₂ и CuInSe₂

Поляризация мод	CuGaSe ₂ [11]		CuInSe ₂ наши данные		CuInS ₂ [6,7]		Отношения частот мод			
	ν_{LO} , см ⁻¹	ν_{TO} , см ⁻¹	ν_{LO} , см ⁻¹	ν_{TO} , см ⁻¹	ν_{LO} , см ⁻¹	ν_{TO} , см ⁻¹	$\nu_{CuGaSe_2}/\nu_{CuInSe_2}$		$\nu_{CuInS_2}/\nu_{CuInSe_2}$	
							LO	TO	LO	TO
E^1	277	255	227.5	204	338	324	1.22	1.25	1.49	1.59
E^2	186	180	174	162	312	294	1.09	1.11	1.83	1.82
E^3	149	145	128.5	122	258	244	1.19	1.18	2.06	1.98
E^4	135	129.8	116	108			1.19	1.18		
E^5	90.9	82.2	77.5	71			1.20	1.17		
E^6	68	64.5	57	55.5			1.19	1.16		
$B_2^{(1)}$	273	257	228.6	208.6	352	328	1.19	1.28	1.54	1.64
$B_2^{(2)}$	188	177.9	169	163	265	238	1.12	1.1	1.58	1.47
$B_2^{(3)}$	89.6	83.0	78.8	70.5			1.18	1.21		

$$M_1 = m_{\text{In}} + m_{\text{Se}} = 193.78, \quad M_2 = m_{\text{Ga}} + m_{\text{Se}} = 148.66, \quad M_3 = m_{\text{In}} + m_{\text{S}} = 146.88$$

Таблица 3. Частоты и комбинации мод в двухфононном спектре поглощения (пропускания) для кристаллов CuInSe₂ в поляризации $\mathbf{E} \perp \mathbf{c}$; $A_1 \otimes E$, $A_2 \otimes E$, $B_1 \otimes E$, $B_2 \otimes E$

Номер структурь	Данные [7] ν , см ⁻¹	Результаты нашей работы		
		эксперимент ν , см ⁻¹	Комбинация мод	расчет ν , см ⁻¹
1		224	$B_1^{(2)}(165^*) + E_6^{LO}(57)$,	222
			$B_2^{(2)LO}(169) + E_6^{TO}(55.5)$	224.5
2		250	$E_2^{LO}(174) + B_2^{(3)LO}(78.8)$,	252.8
			$A_1(178) + E_5^{TO}(71)$	249
3		263	$B_2^{(1)TO}(208.5) + E_6^{TO}(55.5)$	264.1
4		271	$B_2^{(2)TO}(163) + E_4^{TO}(108)$	271
5		291	$E_3^{TO}(112) + B_2^{(2)LO}(169)$,	291
			$B_2^{(1)TO}(208.5) + E_6^{TO}(55.5)$	264.1
6	300	305	$A_1(178^*) + E_3^{LO}(128.5)$	306.5
7		316	$E_4^{TO}(108) + B_2^{(1)TO}(208.6)$	316.6
8	332	326	$B_2^{(2)TO}(163) + E_2^{TO}(162)$,	325
			$E_2^{TO}(162) + B_1^{(2)}(165)$	327
9	347	344	$B_2^{(2)LO}(169) + E_2^{LO}(174)$	343
10		368	$E_1^{TO}(204) + B_2^{(2)TO}(163)$	367
11	385	382	$A_1(178^*) + E_1^{TO}(204)$	382
12		390	$B_2^{(1)LO}(228.6) + E_2^{TO}(162)$	390
13		397	$E_1^{LO}(227.5) + B_2^{(2)LO}(169)$	396.5
14	405	405	$E_1^{LO}(227.5) + A_1(178)$	405.5
15		423	$E_1^{LO}(227.5) + A_2^{(1)}(196)$	423.5
16	428	432	$E_1^{TO}(204) + B_2^{(1)LO}(228.6)$	432.6
17		457	$B_2^{(1)LO}(228.6) + E_1^{LO}(227.5)$	456.1
18	465	467	$B_1^{(1)}(239) + E_1^{LO}(227.5)$	466.5

Примечание. Здесь нижний индекс i в обозначениях мод $E_i^{LO, TO}$ соответствует верхнему индексу при обозначениях E_i в тексте статьи.

Таблица 4. Частоты и комбинации мод в двухфононном спектре поглощения (пропускания) для кристаллов CuInSe_2 в поляризации $\mathbf{E} \parallel \mathbf{c}$; $A_1 \otimes B_2$, $A_2 \otimes B_1$, $E \otimes E$

Номер структуры	Данные [7]	Результаты нашей работы		
		эксперимент $\nu, \text{см}^{-1}$	Комбинация мод	расчет $\nu, \text{см}^{-1}$
1		263	$E_1^{TO}(204) + E_6^{LO}(57)$	261
2		278	$E_2^{TO}(162) + E_4^{LO}(116)$	278
3		285	$E_1^{LO}(227.5) + E_6^{LO}(57)$	284.5
4		291	$E_3^{LO}(128.5) + E_2^{TO}(162)$	290.5
5		305	$E_1^{LO}(227.5) + E_5^{LO}(77.5)$	305
6	316	320	$E_1^{TO}(204) + E_4^{LO}(116)$	320
7		334	$E_1^{LO}(227.5) + E_4^{TO}(108)$	335.5
8	340	343	$E_1^{LO}(227.5) + E_4^{LO}(116)$	244.5
9	349	355	$E_1^{LO}(227.5) + E_3^{LO}(128.5)$	356
10		367	$E_1^{TO}(204) + E_2^{(2)TO}(162)$	366
11		378	$E_1^{TO}(204) + E_2^{LO}(174)$	378
12		386	$A_2(178) + B_2^{(1)TO}(208.6)$	386.6
13	395	392	$E_2^{TO}(162) + E_1^{LO}(227.5)$	389.5
14		401	$E_2^{LO}(174) + E_1^{LO}(227.5)$	401.5
15	411	411	$E_1^{TO}(204) + E_1^{TO}(204)$	408
16	427	426	$E_1^{LO}(227.5) + E_1^{TO}(204)$	431.5
17	438	435	$B_1^{(1)}(239^*) + A_2^{(2)}(196^*)$	435
18	443	450	$2E_1^{LO}$	455

Примечание. Здесь нижний индекс i в обозначениях мод $E_i^{LO,TO}$ соответствует верхнему индексу при обозначениях E_i в тексте статьи.

Таблица 5. Параметры эффективного ионного заряда в кристаллах CuGaSe_2 , CuInSe_2 и CuAlSe_2

Кристаллы	Поляризация и моды	ε_0	ε_∞	$\frac{e_s^*}{Z_{\text{eff}} e} = x$, расчет по (1)	$e_s^*/eZ_{\text{eff}} = \frac{3\sqrt{\varepsilon_\infty}}{\varepsilon_\infty + 2}$	Z/Z_{eff}	$\Delta Z = Z_{\text{eff}}^{\mathbf{E} \parallel \mathbf{c}} - Z_{\text{eff}}^{\mathbf{E} \perp \mathbf{c}}$	e_B^*/Z_{eff}
CuGaSe_2	$\mathbf{E} \parallel \mathbf{c}$ B_2	7.3	4.2	0.44	0.99	Cu ~ 0.63 Ga ~ 0.25 Se ~ -0.44 Cu ~ 0.38 Ga ~ 0.34 Se ~ -0.36	Cu ~ 0.25	2.05
	$\mathbf{E} \perp \mathbf{c}$ E	12.83	5.13	0.36	0.95		Se ~ 0.08	2.25
CuInSe_2	$\mathbf{E} \parallel \mathbf{c}$ B_2	12.09	6.0	0.31	0.92	Cu ~ 0.21 In ~ 0.33 Se ~ -0.31 Cu ~ 0.17 In ~ 0.37 Se ~ -0.27	Cu ~ 0.04	2.45
	$\mathbf{E} \perp \mathbf{c}$ E	16.63	6.86	0.27	0.91		Se ~ 0.04	2.69
CuAlSe_2	$\mathbf{E} \parallel \mathbf{c}$ B_2	6.67	5.2	0.35	0.95	Cu ~ 0.40 Al ~ 0.30 Se ~ -0.35 Cu ~ 0.20 Al ~ 0.42 Se ~ -0.31	Cu ~ 0.20	2.28
	$\mathbf{E} \perp \mathbf{c}$ E	8.28	6.0	0.31	0.92		Se ~ 0.04	2.59

Для определения эффективных зарядов ионов трехкомпонентного материала использовано условие

$$x = \frac{e_s^*}{Z_{\text{eff}}}, \quad \varepsilon_\infty - 1 = \frac{2}{x^2 + x}, \quad (1)$$

предложенное в [12–14]. Это условие практически выполняется во всех исследованных материалах. Полученные нами эффективные ионные заряды для CuInSe₂ несколько отличаются от результатов [9], так как отличаются и частоты LO- и TO-фононов, на базе которых проведены расчеты эффективных зарядов. Параметры диэлектрических постоянных (ε_∞ , ε_0) и эффективные ионные заряды кристаллов CuInSe₂, CuGaSe₂ и CuAlSe₂ существенно отличаются для поляризаций $\mathbf{E} \parallel \mathbf{c}$ и $\mathbf{E} \perp \mathbf{c}$ (см. табл. 5).

Для описания результатов, полученных для разных кристаллов, введен параметр анизотропии эффективных ионных зарядов $\Delta Z = Z_{\text{eff}}^{\mathbf{E} \parallel \mathbf{c}} - Z_{\text{eff}}^{\mathbf{E} \perp \mathbf{c}}$, где $Z_{\text{eff}}^{\mathbf{E} \parallel \mathbf{c}}$ и $Z_{\text{eff}}^{\mathbf{E} \perp \mathbf{c}}$ — эффективные ионные заряды соответствующего атома (иона) в поляризации световой волны $\mathbf{E} \parallel \mathbf{c}$ и $\mathbf{E} \perp \mathbf{c}$ соответственно. Параметр ΔZ может иметь положительные или отрицательные значения, характеризуя электронное облако ионного остова и его отклонение от сферической формы [15]. При положительном значении ΔZ облако вытянуто вдоль оси \mathbf{c} , а при отрицательном ΔZ электронное облако сдавлено по оси \mathbf{c} . Как видно, формы электронного облака для всех ионов в рассматриваемых трех соединениях различны.

Таким образом, замена одного из катионов индия на галлий или алюминий приводит не только к изменению частот колебательных мод, но и к перераспределению электронного облака по направлениям главных осей кристалла.

Список литературы

- [1] I.N. Gan, I. Taus, V.G. Lambrecht, M. Robins. Phys. Rev., **13**, 3610 (1976).
- [2] V. Riede, H. Sobotta, H. Neumann, H.X. Nqueper, W. Moller, G. Wuhn. Sol. St. Commun., **28**, 449 (1978).
- [3] H. Neumann, R.D. Tomlison, W. Kissinger, N. Avgerinos. Phys. St. Sol. (b), **118**, K51 (1983).
- [4] И.В. Бондар, А.Г. Кароза, Б.В. Корзун, Г.Ф. Смирнова. ЖПС, **36**, 451 (1982).
- [5] P.M. Nicolic, S.M. Stojikovic, Z. Petrovic, P. Dimitrijevic. Fizica, **10**, suppl. 2, 98 (1978).
- [6] H. Neumann, H. Sobotta, V. Riede, B. Schumann, G. Kuhn. Cryst. Res. Technol., **18**, K90 (1983).
- [7] H. Neumann. Solar. Cells, **16**, 399 (1986).
- [8] H. Tonino, H. Deal, H. Nakanishi. Proc. 9th Int. Conf. "Ternary and Multinary Compounds", Yokohama (1993) [Japan. J. Appl. Phys., **32**, suppl. 32–3, 436 (1993).]
- [9] H. Tonino, T. Maeda, H. Fujikake, H. Nakanishi, S. Endo, T. Irie. Phys. Rev. B, **45**, 323 (1992-I).
- [10] H. Neumann, W. Kissinger, H. Sobotta, V. Riede. Chechoslovak J. Physics, **84**, 69 (1984).
- [11] A.M. Andriesh, N.N. Syrbu, M.S. Iovu, V.E. Tezlevan. Phys. St. Sol.(b), **187**, 83 (1995).
- [12] K. Wakamura, T. Ogawa. Japan. J. Appl. Phys., **19**, 249 (1980).
- [13] M. Wakaki, Japan. J. Appl. Phys., **24**, 1471 (1985).
- [14] G. Lutz, G. Waschenbach, G. Klche, H. Haenseier. Sol. St. Chem., **44**, 196 (1983).
- [15] Н.Н. Сырбу. Опт. и спектр., 796 249 (1995).

Редактор Т.А. Полянская

Lattice vibrations in CuInSe₂ crystals

N.N. Syrbu, M. Bogdanash, V.E. Tezlevan*

Kishineu Technical University,
277012 Kishineu, Moldova.

*Institute of Applied Physics,
Moldavian Academy of Sciences,
277028 Kishineu, Moldova

Abstract Infrared reflectivity spectra of CuInSe₂ crystals have been investigated for the polarizations $\mathbf{E} \parallel \mathbf{c}$ and $\mathbf{E} \perp \mathbf{c}$. Reflectivity spectra contours were calculated and phonon parameters and dielectric constants were determined. Effective ionic charges of Cu, In and S ions in these materials were determined. Two-phonon absorption spectra in CuInSe₂ have been investigated and absorption bands have been identified in concordance with selection rules.